

图2 Co I 与 Co II 的分离

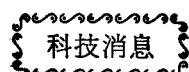
图中 260 nm 光吸收曲线系绘自分管收集液于 1 cm 光径比色杯中的观察值。其含量曲线则为每管收集液经酶法测定得出的辅酶总毫克量

参考文献

- [1] 东风生化试剂厂：《生物化学与生物物理学报》1965年第5期第535页。
- [2] 东风生化试剂厂等：《生物化学与生物物理进展》1975年第3期第13页。
- [3] Lepage, G. A. et al.: *J. Biol. Chem.* **180**, 975, 1949.
- [4] Wang, T. P. et al.: *J. Biol. Chem.*, **211**, 465, 1954.
- [5] Pastore, E. J. et al.: *J. Biol. Chem.*, **236**, 2314,

- 1961.
- [6] 南京大学生物系等：《生物化学与生物物理进展》1978年第5期第9页。
 - [7] Mitz, M. A. US 2828302. 1958.
 - [8] Ciotti, M. M., et al.: *Methods in Enzymology*. Vol. 3, 891, 1957.
 - [9] Horecker, B. L. et al.: *Methods in Enzymology*. Vol. 3, 879, 1957.
 - [10] Kaplan, N. O. et al.: *J. Biol. Chem.*, **174**, 37, 1948.

[本文于 1981 年 5 月 27 日收到]



动物与低频电场相互作用的一般性质分析结果

1. 体外电场包括体表电荷以及通过颈部或四肢的总电流完全取决于所用低频电场、体形、它与地或其他

导体等的特征。

2. 所有上述特征可在动物模型中进行。
3. 体外电场大小与诱导的体表电荷密度都与频率无关(在低频电场范围——绝缘与接地)。
4. 电流密度与体内电场可以被影响。

摘自 *Bioelectromagnetics* 2(1):1, 1981.